

## ВЛИЯНИЕ ТЕМПЕРАТУРЫ ОСАЖДЕНИЯ НА ФОТОЛЮМИНЕСЦЕНТНЫЕ СВОЙСТВА ПЛЕНОК а-С:Н

© ***В.А. Васильев, Е.И. Теруков, И.Н. Трапезникова, В.Е. Челноков***

Физико-технический институт им. А.Ф.Иоффе Российской академии наук,  
194021 Санкт-Петербург, Россия

(Получена 2 октября 1995 г. Принята к печати 4 октября 1995 г.)

Исследованы фотолюминесцентные характеристики (усталость, стоксовская и антистоксовская эмиссия, кинетика спада) пленок аморфного алмазоподобного углерода (*a*-С:Н), полученных при различных температурах подложек  $T_s = 25 - 430^\circ\text{C}$ . Полученные результаты показали зависимость от температуры подложки отношения  $sp^2 / sp^3$ , что определяет величину эффективности фотолюминесценции. Показано, что усталость фотолюминесценции связана с присутствием метастабильных С-Н-С-связей, доля которых также определяется величиной  $T_s$ .

### 1. Введение

В работе [1] было показано, что гидрированный аморфный алмазоподобный углерод, полученный разложением в плазме высокочастотного тлеющего разряда, обладает фотолюминесценцией (ФЛ) с высокой эффективностью ( $\eta \sim 20\%$ ) при комнатной температуре, с максимумом ФЛ, расположенным в районе 2 эВ. Утверждалось, что ФЛ в пленках *a*-С:Н обусловлена локализованными состояниями в зоне, введенными главным образом наногранулами  $sp^2$ -фазы.

Экспериментально было показано, что на микроскопическом уровне пленки *a*-С:Н являются структурно-неоднородными, причем их качество сильно зависит от отношения  $sp^3$ - и  $sp^2$ -фаз, которое определяется технологическими параметрами, а именно составом газовой смеси, скоростью роста и температурой осаждения. Поскольку данный материал является многообещающим при производстве электролюминесцентных ячеек и экранов [2,3], представляет интерес исследование влияния технологических параметров на ФЛ характеристики пленок *a*-С:Н, полученных при температурах осаждения, лежащих в диапазоне  $T_s = 25 - 430^\circ\text{C}$ .

## 2. Методика эксперимента

Алмазоподобные углеродные пленки были получены осаждением из газовой смеси ( $10\% \text{CH}_4 + 90\% \text{Ar}$ ) в плазме тлеющего разряда на частоте 44 МГц при средней мощности  $0.01 \text{ Вт}/\text{см}^2$ . Пленки напылялись на кварцевые подложки со средней скоростью  $1-1.5 \text{ \AA}/\text{с}$  и имели толщину 0.4–0.5 мкм.

Спектры стоксовской ФЛ и усталости ФЛ изучались при возбуждении аргоновым лазером с энергией возбуждения  $h\nu_{\text{ex}} = 2.54 \text{ эВ}$ . При изучении кинетики спада ФЛ использовался импульсный азотный лазер с  $h\nu_{\text{ex}} = 3.69 \text{ эВ}$  и  $\tau = 8 \text{ нс}$ . Антистоксовское плечо ФЛ изучалось при возбуждении Не–Не-лазером с  $h\nu_{\text{ex}} = 1.96 \text{ эВ}$ . Все эксперименты осуществлялись при температуре  $T = 295 \text{ К}$ .

## 3. Результаты и обсуждения

1. Ранее было показано [4,5], что в пленках  $a\text{-C:H}$  наблюдаются такие светоиндуцированные явления, как фотопросветление, фотопотемнение и усталость ФЛ, причем последняя частично восстанавливается при освещении или нагреве образца.

На рис. 1 приведены типичные кривые эффективности ФЛ в зависимости от времени возбуждения для пленок, выращенных при различной температуре  $T_s$ . Эти кривые могут описываться выражением  $\eta(t) \sim A \ln(t/t_0)$ , где  $A$  — зависит от мощности и энергии фотонов возбуждающего света. Отметим, что первоначальное значение интенсивности ФЛ ( $I_0$ ) может быть восстановлено при освещении образца в течение 20–300 мин ртутной лампой. Аналогичные изменения наблюдались для пленок  $a\text{-C:H}$  в работе [4]. Возможной причиной усталости ФЛ может быть наличие фотоиндуцированных реакций внутри  $sp^2$ -фазы, которые включают метастабильные C–H–C-связи. Тот факт, что усталость ФЛ в пленках  $a\text{-C:H}$ , выращенных при  $T_s = 430^\circ\text{C}$  (кривая 4), меньше, чем в пленках, выращенных при  $T_s = 25^\circ\text{C}$  (кривая 1), позволяет предположить, что концентрация метастабильных C–H–C-связей выше в пленках, выращенных при меньших температурах. Однако для

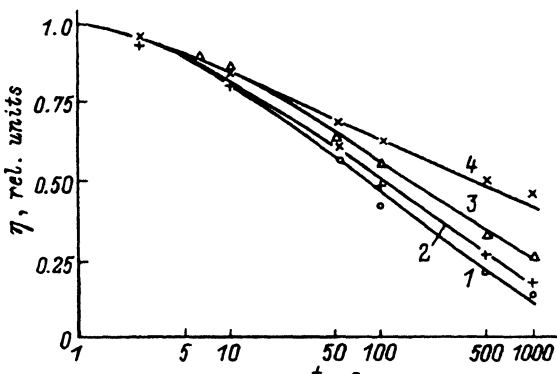


Рис. 1. Изменение интенсивности ФЛ от времени освещения (усталость ФЛ) для пленок  $a\text{-C:H}$ ,  $h\nu_{\text{ex}} = 2.54 \text{ эВ}$ ,  $E = 10 \text{ Вт}/\text{см}^2$ ,  $T = 295 \text{ К}$ . Температуры осаждения  $T_s$ ,  $^\circ\text{C}$ : 1 — 25, 2 — 175, 3 — 250, 4 — 430.

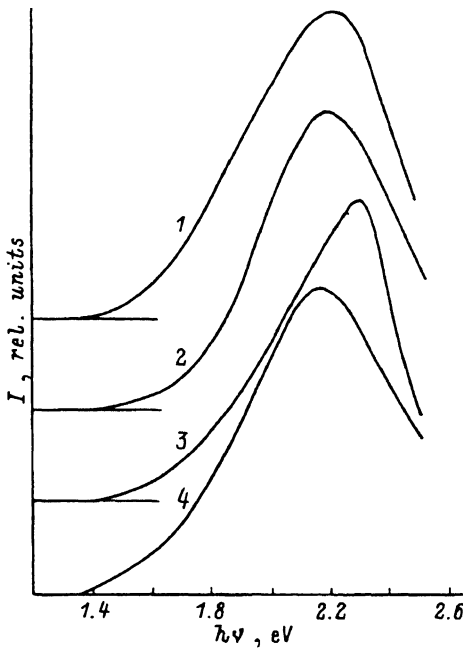


Рис. 2. Спектры стоксовской ФЛ пленок  $a\text{-C:H}$ , осажденных при различных температурах  $T_s$ ,  $^{\circ}\text{C}$ : 1 — 430, 2 — 250, 3 — 175, 4 — 25. ( $T = 295 \text{ K}$ ,  $h\nu_{\text{ex}} = 2.54 \text{ eV}$ ,  $E = 10 \text{ мВт/см}^2$ ).

пленок, полученных при  $T = 430 \text{ }^{\circ}\text{C}$ , характерна высокая эффективность ФЛ благодаря высокой концентрации гранул  $sp^2$ -фазы и меньшему содержанию C—H—C-связей вследствие эфузии водорода при высоких температурах роста. Присутствие метастабильных связей, возможно, свидетельствует об увеличении отношения  $sp^3/sp^2$  в случае освещения, являясь причиной появления мощного безызлучательного канала.

2. На рис. 2 приведены нормализованные спектры ФЛ пленок  $a\text{-C:H}$  (стоксовское плечо) при возбуждении фотонами с энергией 2.54 эВ в зависимости от температуры осаждения  $T_s$ . Энергетическое положение спектров и их полуширины меняются в диапазоне  $E_m = 2.15\text{--}2.23 \text{ эВ}$  и  $\delta = 0.45\text{--}0.62 \text{ эВ}$  соответственно. В отличие от выполненных ранее измерений на пленках  $a\text{-C:H}$ , осажденных из газовой смеси  $\text{C}_2\text{H}_2\text{-Ar}$  [6], в этом спектральном диапазоне не зафиксировано никаких дополнительных полос. Что касается спектральной формы, то эмиссия как из только что приготовленной пленки, так и длительное время подвергавшейся освещению практически идентична, поскольку определяется плотностью состояний в соответствующих энергетических диапазонах.

3. Изучение кинетики спада ФЛ в пленках  $a\text{-C:H}$  при возбуждении  $\text{N}_2$ -лазером показало, что она практически следует экспоненциальному закону со средним временем спада 10 нс и практически не зависит от температуры  $T_s$  и времени освещения. Тот факт, что кинетика спада подчиняется экспоненциальному закону, подтверждает наличие экситонного механизма рекомбинации [1] с участием наногранул  $sp^2$ -фазы.

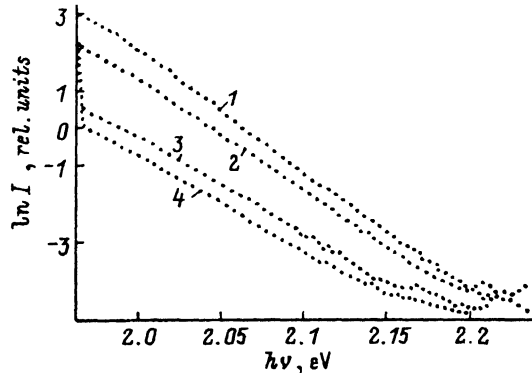


Рис. 3. Спектры антистоксовской ФЛ пленок *a*-С:Н, осажденных при различных температурах  $T_s$ , °С: 1 — 430, 2 — 250, 3 — 175, 4 — 25. ( $T = 295$  К,  $h\nu_{\text{ex}} = 1.96$  эВ,  $E = 5$  мВт/см<sup>2</sup>).

4. Были сняты эмиссионные спектры антистоксовской ФЛ пленок *a*-С:Н, приготовленных при различных температурах  $T_s$ , при возбуждении фотонами с энергией  $h\nu_{\text{ex}} = 1.9$  эВ. Спектры представлены на рис. 3. Видно, что антистоксовское плечо хорошо описывается экспоненциальным законом:

$$I(h\nu) \sim \exp(h\nu/E_0) \exp(-h\nu/kT), \quad (1)$$

где  $E_0$  — некий энергетический параметр, относящийся к градиенту плотности локализованных состояний и характеризующий распределение фотовозбужденных носителей [1,7]. Как видно из рисунка, для пленок, осажденных при высокой температуре  $T_s$ , интенсивность антистоксовской эмиссии выше, чем для пленок, полученных при  $T_s < 100$  °С (кривые 3, 4). Подобное поведение наблюдается для характеристической энергии в выражении (1).

#### 4. Заключение

Таким образом, полученные результаты подтверждают предположение, что доминирующим каналом излучательной рекомбинации является канал, включающий наногранулы *sp*<sup>2</sup>-фазы. Их концентрация выше в пленках *a*-С:Н, осажденных при высокой температуре  $T_s$ , чем в пленках, приготовленных при  $T_s < 100$  °С. Более того, последние обнаруживают большую концентрацию метастабильных связей, таких как С-Н, которые ответственны за явление усталости ФЛ. Квантовая эффективность ФЛ выше для пленок, приготовленных при высокой температуре  $T_s$ .

This work was supported in part by US Department of Defense.

## Список литературы

- [1] S.V. Chernyshov, E.I. Terukov, V.A. Vassilyev, A.S. Volkov, J. Non-Cryst. Sol., **134**, 218 (1994).
- [2] S.B. Kim, J.E. Wager. Appl. Phys. Lett., **58**, 1880 (1988).
- [3] G. Chen, F. Zhang, S. Yan. J. Non-Cryst. Sol., **137/138**, 1263 (1991).
- [4] Б.А. Васильев, А.С. Волков, Е. Мусабеков, Е.И. Теруков. Письма ЖТФ, **14**, 1675 (1988).
- [5] R.R. Koroperski, L.R. Tssler, J.A. Sanjurjo, F. Alvarez. J. Non-Cryst. Sol., **137/138**, 835 (1991).
- [6] S. Nomomura, S. Hattori, S. Nitta. Sol. St. Commun., **64**, 1261 (1989).
- [7] Б.А. Васильев, А.С. Волков, Е. Мусабеков, Е.И. Теруков, С.В. Чернышов. ФТТ, **32**, 786 (1990).

Редактор В.В. Чалдышев

### Effect of the Substrate Temperatures on Photoluminescence of *a*-C : H Films.

V.A. Vassilyev, E.I. Terukov, I.N. Trapeznikova, V.E. Chelnokov

A.F.Ioffe Physicotechnical Institute, Russian Academy of Sciences,  
194021 St.Peterburg, Russia

Photoluminescent characteristics (fatigue, Stokes and anti-Stokes emission, decay kinetics) in films of amorphous diamond-like carbon (*a*-C : H) were investigated as a function of substrate temperature  $T_s = 25\text{--}430^\circ\text{C}$ . The obtained results have demonstrated the effect of  $T_s$  on the ratio of  $sp^2$  and  $sp^3$  — phases in the films, which determines the photoluminescence efficiency. The photoluminescence fatigue was found to be related to the presence of metastable C-H-C bonds, of which the share is also dependent on  $T_s$ .

---